

4. Н.И. Ягушкин, А.И. Сергеев, Э.А. Гостищев. Исследование радиационно-электрических процессов в диэлектриках при облучении электронами с энергиями до 100 кэВ // Модель космоса. Т.2.: Воздействие космической среды на материалы и оборудование космических аппаратов / под ред. Л.С. Новикова. – 2007. – 1144 с.
5. Проект стандарта Европейской ассоциации по космической стандартизации» European Cooperation for Space Standardization ECSS-E-20-06 (последняя версия Draft 2 от 17 января 2006).
6. S. Lai, M. Tautz, and K. Tobiska. Effects of Solar UV on Spacecraft Charging in Sunlight // 44th AIAA Aerospace Sciences Meeting and Exhibit, Reno, Nevada, Jan. 9–12, 2006.
7. Fujii, A.; Onodera, Noriyoshi; Murakami et al. Charging Analysis of Engineering Test Satellite VIII (ETS-VIII) of Japan // Spacecraft Charging Technology, Proceedings of the Seventh International Conference. Edited by R.A. Harris, European Space Agency, ESA SP-476, 2001., p.183.
8. Л.С. Новиков, В.Н. Милеев, К.К. Крупников, А.А. Маклецов. Электризация КА в магнитосферной плазме // Модель космоса. Т.2.: Воздействие космической среды на материалы и оборудование космических аппаратов / под ред. Л.С. Новикова. – 2007. – 1144 с.

ОПТИМИЗАЦИЯ ПАРАМЕТРОВ ЛЮМИНЕСЦЕНТНЫХ ПРЕОБРАЗОВАТЕЛЕЙ И УСЛОВИЙ ПРОСВЕЧИВАНИЯ

А.И. Буллер, В.К. Кулешов

Россия, 634028, г. Томск, ул. Савиных 7

«НИИ ИН» Лаборатория № 10

тел. 89069570963

В данной работе были проведены исследования по теме:

«Оптимизация параметров люминесцентных преобразователей и условий просвечивания». Поставлены эксперименты, на основании которых проводились заключения по оптимальности параметров люминесцентных экранов. Проводилась оценка контраста вследствие использования растровой решетки.

В настоящее время эта задача является более чем актуальной вследствие широкого применения методов неразрушающего контроля в области мягкого рентгеновского излучения. В частности для изделий малых толщин и плотности, для диагностики в медицине и т. д.

Оптимизация параметров просвечивания необходима для извлечения максимального количества информации из теневого рентгеновского изображения, увеличения контраста, четкости и яркости изображения с целью повышения качества контроля исследуемого объекта, а также максимально облегчения обработки данных различными цифровыми системами.

Поставленная задача достигалась подбором нагрузки люминофоров обеспечивающих оптимальные параметры яркости и разрешающей способности для выбранного диапазона рентгеновского излучения. А также определением уменьшения влияния рассеянного излучения на изображение вследствие использования отсевающего растра.

При выборе типа экрана преобразователя из следующих экранов (CsI(Tl), МФЭ (Метало-флуоресцентный экран), ZnCdS(Ag), LaOS₃(Tb)) был выбран CsI(Tl), который удовлетворяет следующим требованиям:

- 1) Совпадением области чувствительности со спектральным выходом ПЗС матрицы.
 $\lambda_{\max} = 540$ нм.

- 2) Прозрачность к собственному излучению.
 - 3) Большим атомным номером $Z = 54$.
 - 4) Большой плотностью $\rho = 4,51 \text{ г} \cdot \text{см}^{-3}$.
 - 5) Высокой конверсионной эффективностью $\eta = 15\text{--}20\%$.
- В работе был проведен ряд экспериментов с CsI(Tl) люминесцентными экранами различной нагрузки.

Измерение разрешающей способности CsI(Tl).

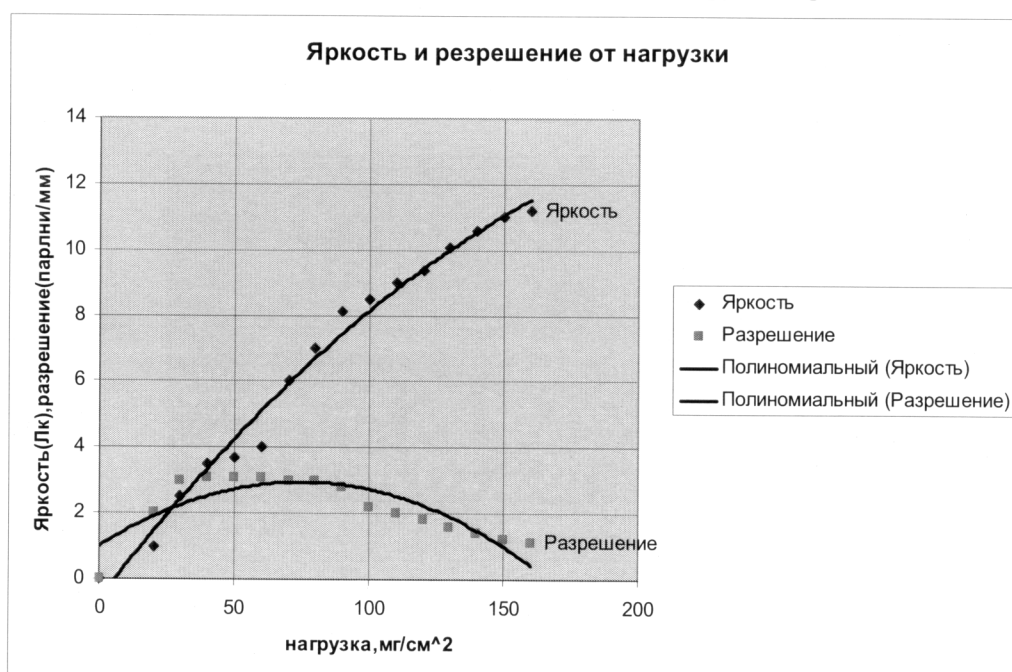
Исследования проводились на рентгеновском аппарате РУП-150/300. Люминесцентный экран, на котором также размещалась МИРА с нанесенными на нее параллельными рентген не прозрачными линиями, помещался на расстоянии 100 см от источника излучения. За люминесцентным экраном помещалась ПЗС камера, защищенная от прямого излучения свинцовым стеклом. Изображение с камеры подавалось на ПК, где с помощью специализированного программного продукта обрабатывалось и анализировалось.

Условия проведения эксперимента по определению яркости аналогичные измерению разрешающей способности за исключением отсутствия МИРЫ и вместо ПЗС камеры устанавливался гальванометр.

Исходя из данных, полученных в результате проведенного эксперимента можно сделать следующие выводы:

- 1) Наибольшей разрешающей способность обладают экраны на основе CsI(Tl) с нагрузкой от 30 до 90 $\text{мг}/\text{см}^2$. При дальнейшем увеличении нагрузки и неизменными параметрами просвечивания происходит снижение разрешающей способности вследствие увеличения доли рассеяния света в слое люминофора.
- 2) Увеличение нагрузки люминофора увеличивает его яркость вследствие увеличения поглощения рентгеновских лучей, но это в свою очередь приводит к уменьшению разрешающей способности и снижению чувствительности к мелким деталям изображения.
- 3) Для данных условий просвечивания экран с наиболее оптимальными параметрами разрешающей способности и яркости является CsI(Tl) нагрузкой – 96,34 $\text{мг}/\text{см}^2$, разрешающей способностью – 2,8 пар линий/мм. Яркостью – 8,2 отн.ед.

Зависимость яркости и разрешения от нагрузки экрана



В рамках работы были проведены исследования по определению изменения контраста вследствие, уменьшения рассеянного излучения на изображение с использованием отсевающего растра.

Отсеивающие растры помещаются перед приемником рентгеновского излучения для уменьшения доли рассеянного излучения, возникающего в исследуемом объекте, а также в элементах конструкций рентгеновских аппаратов, расположенных между фокусом рентгеновской трубки и приемником излучения.

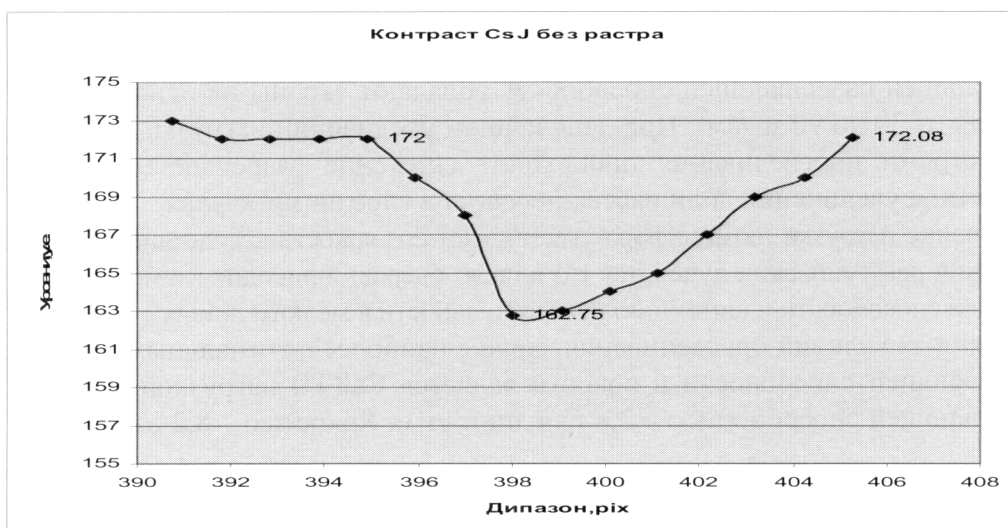
Для определения изменения контраста необходимо вычислить разницу между уровнем яркости фона и яркости тестового объекта. Для проведения сравнения мы получили теневые картинки с использованием экрана CsI(Tl), одна из которых выполнена с использованием растровой решетки, а вторая без растра.

Коэффициент улучшения контраста, обусловленный наличием растра

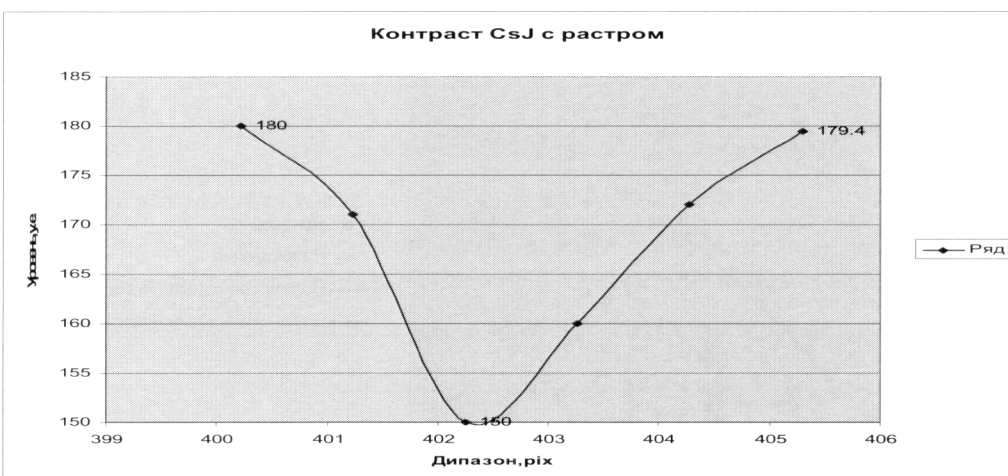
$$K = K_p / K_0$$

Теневые изображения обработаны специализированным программным продуктом «ДИАДА».

Изменение контраста CsI(Tl) без использования растровой решетки.



Изменение контраста CsI(Tl) с использованием растровой решетки.



Разность уровней яркости экрана CsI(Tl):

$$K(\text{CsI}) = B_{\text{фон}} - B_{\text{катетер}}$$

$$K(\text{CsI}) = 172 - 162,5 = 9,5 \text{ отн.ед}$$

$$K(CsI+rastr) = 180 - 150 = 30 \text{ отн.ед}$$

$M = K(CsI+rastr) / K(CsI) = 30 / 9,5 = 3,16$, где M – показатель увеличения контраста изображения.

Использование растровой решетки в случае CsI(Tl) люминесцентного экрана позволило в 3,16 раз увеличить контраст изображения.

Заключение

В заключение отметим, что, как вытекает из всего рассмотренного материала, между характеристиками экранов, определяющими качество изображения, и характеристиками эффективности существует довольно сложная связь, в значительной мере зависящая от условий применения экранов. Это обстоятельство должно постоянно учитываться при решении практических задач.

Список литературы

1. В.А. Бакушев, Н.В. Ветчинкин, Л.В. Владимиров, Б.М. Кантер, В.В. Клюев, А.Н. Кронгауз, Б.И. Леонов, Ю.П. Телегин, А.З. Шварцман. Рентгенотехника: справочник. В 2-х кн / под. ред. В.В. Клюева. – М.: Машиностроение, 1980. – Кн. 1. 1980. – 431 с.: ил.
2. Гурвич А.М. Рентгенлюминофоры и рентгеновские экраны. – М.: Атомиздат, 1976. – 151 с.
3. Н.Н. Блинов, Ф.Г. Горелик, Э.Б. Козловский, Б.И. Леонов. Перспективы развития цифровых систем регистрации рентгеновских изображений с использованием люминесцентных экранов. Всесоюзный научно-исследовательский институт Минздрава СССР. – М., 1989. – 24 с.
4. Техника систем индикации / А.Н. Шеманина, Н.И. Иванова. – М.: МИР, 1970. – 302–310 с.
5. Байза К., Хентер Л., Холбек Ш. Рентгенотехника. – Будапешт: Изд-во Академии Наук Венгрии, 1973. – 325 с.

УДК 681.31

СИСТЕМЫ РАДИАЦИОННОГО КОНТРОЛЯ НА ОСНОВЕ ГАЗОРАЗРЯДНЫХ ПРЕОБРАЗОВАТЕЛЕЙ РЕНТГЕНОВСКОГО ИЗЛУЧЕНИЯ В ВИДИМОЕ

*B.Ю. Алхимов, Ю.В. Алхимов, В.К. Кулешов
Томский политехнический университет
E-mail: alkhimov@tpu.ru*

Приведены результаты исследования применения газоразрядных преобразователей рентгеновского излучения в видимое и рентгеновских установок контроля на их основе.

В настоящее время развитию средств неразрушающего контроля во всем мире уделяется значительное внимание. Основное условие, которому должны удовлетворять такие средства, – не оказывать вредного влияния на здоровье человека и контролируемые объекты. Рентгеновский метод, дающий теневую картину объекта контроля, обладает во многих случаях значительным преимуществом, но, чтобы использовать этот метод, необходимо максимально уменьшить вредное воздействие рентгеновского излу-